

PS-11 含 CaF_2 スラグによる溶鉄の脱硫速度

九州大学大学院 竹内 栄一(現新日鐵) 梅田 勝治
九州大学工学部 川合 保治 森 克巳

1. 緒言 エレクトロスラグ再溶解やその他の炉外精錬用フランクスとしてしばしば用いられる $\text{CaF}_2-\text{CaO}-\text{Al}_2\text{O}_3$ 系スラグは sulfide capacity⁽¹⁾ や溶鉄との分配値⁽²⁾ に関する報告からかなり強い脱硫作用を有することが推定される。(しかし、その反応速度に関しては若干の報告はなされているものの、この反応の速度論的研究は不十分である。)

本研究では $\text{CaF}_2-\text{CaO}-\text{Al}_2\text{O}_3$ 系スラグの脱硫作用を明らかにする目的で、実験室的にこれらのスラグによる溶鉄、溶銑の脱硫速度を調べるとともに、実験終了時のメタル-スラグ中の S 濃度より、S の分配値についても調べた。

2. 実験方法 加熱には内径 60mm の炉内管をもつシリコニット炉を用いた。試料の装入状況を図 1 に示す。30~80gr の Fe-S または Fe-C-S 合金を下部のフボに入れ、 CaF_2 , CaCO_3 , Al_2O_3 試薬を適量配合して予備溶融し合成したスラグ 20~30gr を上部のフボに入れ、炉内を Ar がスと置換したのち加熱を開始する。実験温度に達すると、ストッパーを上げ、溶融スラグを溶鉄面上に流し出す。この時を反応開始とし、以後適当な時間间隔でメタル試料採取を行ない、鉄中の S 分析より脱硫速度を求める。また、最終メタル試料を採取後、フボと炉外に取出し、窒素気流中で急冷し、これより最終スラグの分析試料を採取した。測定は 1450~1580°C で行なった。

3. 実験結果および考察 組成の異なるスラグを用いて得られた脱硫曲線の数例を図 2 に示す。 CaF_2 を多量に含むスラグは比較的粘度が低く、図に見られるように、いずれの場合にも脱硫速度は非常に大きく、スラグ投入後わずか数分以内に一定 S 濃度に達している。

2 重膜理論に基づいた速度式より、溶鉄中の S 濃度の時間変化は次式で与えられる。

$$\frac{L_s W_s}{L_s W_s + W_m} \ln \frac{(L_s W_s + W_m)(\%S) - W_m(\%S)_0 - W_s(\%S)_0}{L_s W_s (\%S)_0 - W_s(\%S)_0} = \frac{FK}{V} t, \quad \left(\frac{1}{K} = \frac{1}{k_m} + \frac{1}{k_f} + \frac{\rho_m}{\rho_s L_s k_s} \right)$$

L_s は S の分配値、K: 総括物質移動係数、下: 界面積、V: 溶鉄の体積、 ρ : 密度、W: 重量、k: 物質移動係数、添字 s, m はスラグ、メタルを意味する。

上式の左辺の値と FKt/V が直線関係を満たすように L_s を定め得られた直線の傾きより K を求めた。K の値を $\text{CaO}/\text{Al}_2\text{O}_3$ 比に対してプロットしたもののが図 3 で、 $\text{CaO}/\text{Al}_2\text{O}_3$ が大きいほど、K も大きくなり、反応はスラグ側の S の物質移動律速を暗示している。

- 参考文献 (1) G.W.Kor, F.D.Richardson; Trans AIME 245 (1969) p314
 (2) G.I.Zhmoedin et al.; Izv. A.N. SSSR Metally (1966) 3 p42
 (3) 前川, 鈴木; 鉄と鋼 57 (1971) p60
 (4) 萩野, 原; Proc. 4th Symp. ESR Process (1973) p26

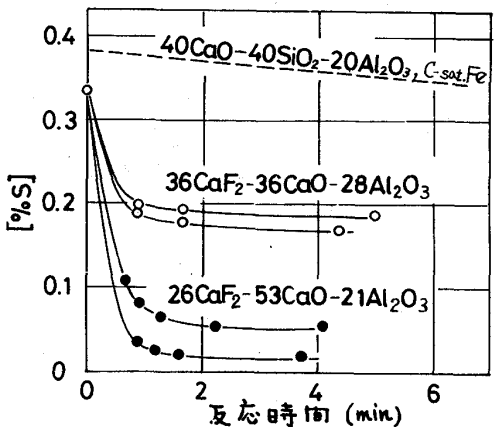
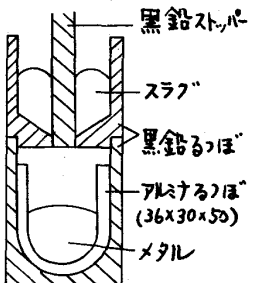


図 2. 溶鉄中の S 濃度の変化曲線 (1580°C)

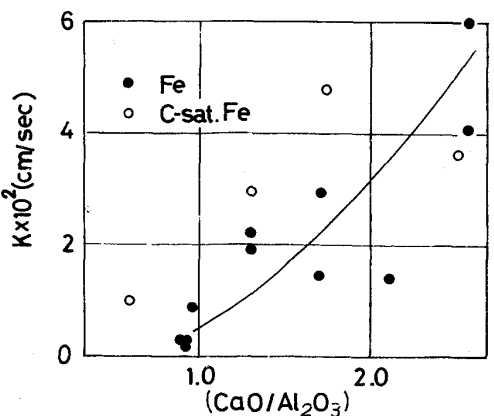


図 3. 総括物質移動係数におよぼすスラグ組成の影響